

金沢大学工学部 正 吉 田 博  
 金沢大学工学部 正 梶 川 康 男  
 金沢大学工学部 学○江 上 良 二

## 1. まえがき

コンクリートの致命的欠陥である脆さを改善し、すぐれた韌性を発揮させる纖維補強コンクリートが、近年脚光をあびてきている。しかし、コンクリート中に不連続短纖維がまったくランダムに分布している材料の引張挙動については、解析的には求め難いようである。本研究は、ランダム配合されたGFRPの引張強さを推定した尾田らの研究<sup>1)</sup>を参考にし、マトリックスとしてモルタル、纖維に鋼纖維を用いた場合の、曲げ荷重と変形特性との関係を解析的に求めたものである。

## 2. 解析方法

鋼纖維補強コンクリートは、図-1のようにマトリックス中に不連続短纖維がランダムな方向に混入されているものである。しかし微小部分について考えると、そこでは、纖維は一方向に並んでいるものと考える(図-2)。このように考えて、図-1のモデルは図-2のモデルの集合体であるとみなす。具体的な解析には二次元モデルを用いる。つまり、全体モデルとしては、図-3のようにあらわされる。また個々要素はランダムに並んでいると考えられるので、要素の纖維の方向は、計算機に乱数を発生させ求めた。次に具体的に有限要素法を適用するにあたり、三角形要素を用いて、平面応力モデルとして解析を行なった。図-4には、三角形の一要素と座標の関係が示してある。図-4において、θは乱数を用い決定し、纖維方向をL、纖維直角方向をTとし、一要素はL-T面内での直交異方性材料であると考える。

次に、直交異方性を示す各要素の弾性係数やポアソン比は、一方向強化材の解<sup>2)</sup>を利用して、以下のように定めた。

$$E_L = E_f V_f + E_m V_m \quad (1)$$

$$\frac{1}{E_T} = \frac{\pi}{2} \cdot \frac{K_f - K_m}{(K_f - K_m)^2 - (\gamma_f V_f - \gamma_m V_m)^2} + \frac{1-D}{E_m} \quad (2)$$

$$\gamma_L = \frac{D(\gamma_f K_f - \gamma_m K_m)}{K_f - K_m} + \frac{\pi}{2} \cdot \frac{K_f K_m (\gamma_m - \gamma_f)}{(K_f - K_m)^2} + \gamma_m (1-D) \quad (3)$$

$$\frac{1}{G_{LT}} = \frac{\pi}{2(G_f - G_m)} + \frac{1-D}{G_m} \quad (4)$$

上式で、E:ヤング係数、γ:ポアソン比、G:せん断剛性率、V:体積含有率、D:纖維の直径、m, f:マトリックス、纖維に関する諸量、 $K_f = E_f / (1 - \gamma_f^2)$ 、 $K_m = E_m / (1 - \gamma_m^2)$ をあらわす。

以上の仮定のもと、マトリックスとしてモルタル、 $E_m = 180000 \text{ kg/cm}^2$ 、 $\gamma_m = 0.20$ 、纖維として鋼纖維、 $E_f = 2000000 \text{ kg/cm}^2$ 、 $\gamma_f = 0.28$  の材料定数を持つモデルで纖維含有率、 $V_f = 2.0\%$ のものに対し、弾性域において、一様圧縮、一様引張のもとに弾性係数、ポアソン比を求めたところ、纖維補強しないものにくらべ、それはほど大差がなかった。

次に纖維補強コンクリートの特徴である脆さの改善を考えるためにあたり、モデルの破壊に対しては、以下のよう



図-1  
鋼纖維補強コンクリートモデル



図-2  
一要素モデル

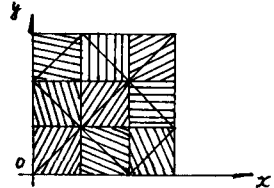


図-3 全体モデル

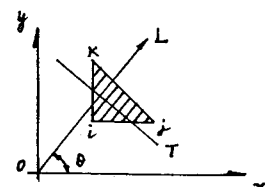


図-4 要素と座標

に考えた。つまり各要素での降伏則であるが、これは、マトリックスとしてのモルタルの引張強度が鋼繊維の強度よりもかなり低いことと、纖維含有率が低いので、最大主引張応力に垂直な平面において、クラックが生ずるとし(図-5)、その後その要素の剛性を変化させるが、マトリックスのみにき裂が生ずるのであるから、(1)式～(4)式において、 $E_m$ 、 $\nu_m$ をゼロとした。またクラックがはいった要素において、その後の挙動は纖維とマトリックスの付着により支配されると考えられるので、要素の応力が付着強度に達したならば、纖維は引き抜けてしまうと考え、その後の要素の剛性はゼロとおいた(図-6)。また纖維の分布は平面的な変化のみならず、厚さ方向にも変化を有するものなので、一要素は図-7のように厚さ方向にも異なった纖維方向を持ったものが積層され、一要素の剛性をつくるものと考える。

### 3. 解析結果

図-8に示すような  
断面  $10\text{cm} \times 10\text{cm}$ 、長さ

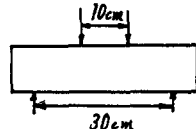


図-8 曲げ供試体

$40\text{cm}$ の曲げ供試体に3等分点載荷を行なった場合の、供試体左半分について、38分割、厚さ方向10層とした場合の供試体中央のたわみと載荷点での荷重の関係を図-9に示す。材料定数は前述のものを用い、モルタルの引張強度を  $20\text{kg/cm}^2$ 、纖維の引き抜け応力は、 $V_f = 1.5\%$ に対し。

$41\text{kg/cm}^2$ とした。また鋼繊維としては、断面  $0.5\text{mm} \times 0.5\text{mm}$ 、長さ  $3\text{cm}$  のフラットなものを考えてある。

### 4.まとめ

図-9 (a)には  $V_f = 1.5\%$ 、(b)には  $V_f = 0.5\%$  での解析結果を示してあるが、実際の挙動よりも最大荷重の値が低いと思われる。これは破壊規準のとりかた、つまり降伏則のとりかたにまず問題があると思われ、またひびわれ後の剛性の変化についても検討が必要であると思われる。また纖維の引き抜けについてであるが、この解析例の場合、引き抜け応力に達したならば剛性をゼロにしてしまったが、纖維が徐々に引き抜けゆくような剛性のとり方を考えるなど、いくつかの改良点が必要であると思われる。しかし、纖維含有率が増えると最大荷重に達した以後も、荷重が急激に低下せず、韧性の増大がみられる傾向はよくあらわれていると思われる。

### 参考文献

- 1) 尾田十八、宮本博：ランダム配合されたGFRPの引張強さの推定、日本複合材料学会誌、第2巻、第1号、PP.27～33、1976
- 2) 山脇弘一、植村益次：一方向強化材と多層積層複合材の弾性常数の一解析、東京大学宇宙航空研究所報告、第7巻、第2号、PP.315～320、1971

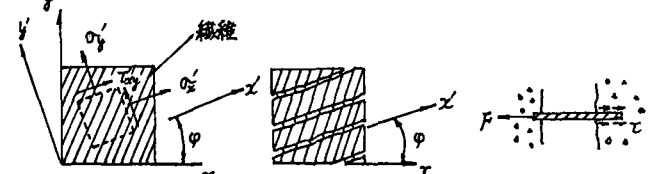


図-5 クラックのはいった要素

図-6 繊維の引き抜け

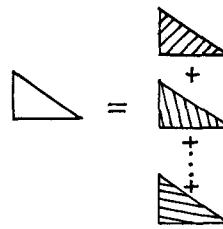


図-7 厚さ方向変化を考慮した要素

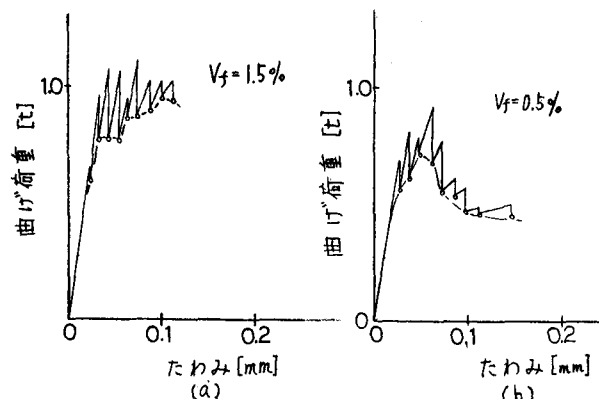


図-9 解析例